

油榄仁果实在化学成分的研究

胡立志^{1,2}, 周忠玉², 贾永霞², 谭建文^{2*}, 曹庸¹, 田代科³

(1. 华南农业大学食品学院, 广州 510642; 2. 中国科学院植物资源保护与可持续利用重点实验室, 中国科学院华南植物园, 广州 510650; 3. 上海辰山植物园 / 中国科学院上海辰山植物科学研究中心, 上海 201602)

摘要: 为了解油榄仁(*Terminalia bellirica* Roxb.)的化学成分, 从油榄仁果实的乙酸乙酯提取物中分离得到 11 个化合物, 通过波谱分析, 分别鉴定为: 表松脂酚 (1)、(-)-芝麻素 (2)、麻醉椒苦素 (3)、二氢醉椒素 (4)、异香兰素 (5)、3,4-二羟基苯甲酸 (6)、没食子酸 (7)、没食子酸甲酯 (8)、没食子酸乙酯 (9)、3,4,8,9,10-五羟基二苯骈[b,d]吡喃-6-酮 (10)、polystachyol (11), 其中化合物 1~6、10 和 11 为首次从油榄仁果实中分离得到。

关键词: 油榄仁; 化学成分; 酚酸; 木脂素

doi: 10.3969/j.issn.1005-3395.2014.04.014

Chemical Constituents from the Fruits of *Terminalia bellirica* Roxb.

HU Li-zhi^{1,2}, ZHOU Zhong-yu², JIA Yong-xia², TAN Jian-wen^{2*}, CAO Yong¹, TIAN Dai-ke³

(1. College of Food Science, South China Agricultural University, Guangzhou 510642, China; 2. Key Laboratory of Plant Resources Conservation and Sustainable Utilization, South China Botanical Garden, Chinese Academy of Sciences, Guangzhou 510650, China; 3. Shanghai Chenshan Botanical Garden/Shanghai Chenshan Plant Science Research Center, Chinese Academy of Sciences, Shanghai 201602, China)

Abstract: In order to understand the chemical constituents of *Terminalia bellirica* Roxb., fourteen compounds were isolated from ethyl acetate extract of the fruits of *T. bellirica*. On the basis of spectral data, they were identified as epipinoresinol (1), (-)-sesamin (2), methysticin (3), dihydrokawain (4), isovanillin (5), 3,4-hydroxy benzoic acid (6), gallic acid (7), methyl gallate (8), ethyl gallate (9), 3,4,8,9,10-pentahydroxydibenzo[b,d]pyran-6-one (10), polystachyol (11). Compounds 1~6, 10 and 11 were obtained from this species for the first time.

Key words: *Terminalia bellirica*; Chemical constituent; Phenolic acid; Lignanoid

油榄仁(*Terminalia bellirica* Roxb.)为使君子科(Combretaceae)榄仁属高大落叶乔木, 在我国自然分布于云南, 主产西双版纳、金平、抢源、耿马等县; 还广布于印度、锡金、缅甸、泰国、老挝、柬埔寨、越南、马来半岛及印度尼西亚等地区, 东达摩鹿加。油榄仁是热带季节性雨林中的高大乔木, 常是沟谷、低丘季节雨林的上层组成树种, 在向阳山坡及疏林中也常有分布, 在个别地段还能形成优势。目

前, 我国广东省南亚热带地区有引种栽培, 显示出良好适应性和栽培性状。油榄仁树干通直, 树冠小, 生长快, 果实入药, 果仁含油, 是速生用材树种和有价值的经济树种。相关研究表明, 油榄仁种仁的含油量达 44.6%, 油酸达 27.6%, 亚油酸达 31.8%; 其果皮含单宁, 用于鞣革、制黑色染料、改进兰靛及制造墨水。果实可供药用^[1], 据唐本草记载, 其性苦寒, 主治风虚热气。未成熟的果实可用以通便, 成熟果

收稿日期: 2013-11-21 接受日期: 2013-12-23

基金项目: 国家自然科学基金项目(31270406); 中国科学院知识创新工程重要方向项目(KSCX2-YW-Z-0804); 中国科学院仪器设备功能开发项目(YG2012050)资助

作者简介: 胡立志, 男, 硕士研究生, 研究方向为植物化学与食品化学。E-mail: hulizhigz@126.com

* 通讯作者 Corresponding author. E-mail: jwtan@scbg.ac.cn

为收敛剂,在印度用来治水肿、赤白痢等病^[1]。

有关油榄仁化学成分的研究报道较少,目前报道油榄仁的主要成分有没食子酸、鞣花酸、没食子酸乙酯、诃子酸、没食子酸甲酯、单宁、没食子酸酰葡萄糖、木脂素等^[2~6]。为进一步揭示油榄仁的生物活性化学物质基础,我们近期对油榄仁果实的化学成分进行了系统分析研究,以期为进一步开发利用油榄仁果实提供科学依据。

1 材料和方法

1.1 材料

油榄仁(*Terminalia bellirica* Roxb.)果实采自中国科学院华南植物园,由该园邢福武研究员鉴定,标本保存在生物有机化学研究实验室。柱色谱正相层析硅胶为青岛海洋化工有限公司产品;凝胶 Sephadex LH-20 为瑞典 Amersham Biosciences 公司生产;反相层析硅胶 YMC ODS-A (50 μm)为日本 YMC 公司生产;薄层色谱正相硅胶板(HGFF₂₅₄)为山东烟台江友硅胶开发有限公司产品。

1.2 仪器

减压浓缩采用日本东京理化公司 N-1000 旋转蒸发仪、CCA-1110 循环式冷却箱和 SB-1000 电热恒温水浴锅;中压半制备采用上海创新通恒有限公司(Dr Flash-S)分离纯化系统;HPLC 采用日本岛津公司 LC-20AT 型液相色谱仪、SPD-M20A 检测器和 Shim-Pack PRC-ODS 色谱柱(粒径 5 μm, 孔径 12 nm, 250 mm × 20 mm);质谱用 MDS SCIEX API 2000 LC/MS/MS 仪;¹H NMR 和 ¹³C NMR 采用 Bruker DRX-600 核磁共振仪,溶剂残留峰为内标。

1.3 提取与分离

油榄仁果实(20 kg)粉碎后用 95% 的乙醇浸泡提取 3 次,每次 24 h,合并提取液。经减压浓缩将提取液中乙醇抽干后加适量水使其成为混悬液,依次用石油醚、乙酸乙酯与正丁醇进行萃取,各萃取 5 次,减压浓缩后分别得到石油醚部分、乙酸乙酯部分以及正丁醇萃取部分,萃取样品保存于 -4 °C 冰箱中。乙酸乙酯部分萃取物经正相硅胶柱层析,以三氯甲烷-甲醇(100 : 1、80 : 1、50 : 1、30 : 1、10 : 1、5 : 1 和 0 : 100, V/V)进行梯度洗脱,得

到 17 个组分(E1~E17)。E1 (34.4 g)经硅胶柱层析(200~300 目),以氯仿-甲醇(100 : 0~0 : 100)梯度洗脱,经 TLC 薄层层析检测合并主点相同的流分,得到 E1-1~E1-6 共 6 个亚组分。E1-1 (7.6 g)经 ODS 反相硅胶柱层析(50 μm),甲醇-水(30 : 70~100 : 0)梯度洗脱,合并相同主点流分得到 E1-1-1~E1-1-10 共 10 个次组分。E1-1-1 (3 g)经硅胶柱层析(200~300 目),以石油醚-丙酮(10 : 1~0 : 10)梯度洗脱,合并相同主点流分得到 E1-1-1-1~E1-1-1-6 共 6 个次组分。E1-1-1-1 (0.9 g)经 Sephadex LH-20 柱层析(流动相:甲醇)得到化合物 1 (11 mg),剩余部分经 Sephadex LH-20 柱层析(流动相为氯仿:甲醇=1 : 4)得到化合物 3 (14 mg)。E1-1-1-2 (1.2 g)经 Sephadex LH-20 柱层析(流动相为氯仿:甲醇=1 : 4)得到两个主要组分 E1-1-1-2(1)、E1-1-1-2(2);E1-1-1-2(1)经硅胶柱层析(200~300 目),以石油醚:丙酮=10 : 1 等度洗脱,得到化合物 5 (30 mg), E1-1-1-2(2)经硅胶柱层析(200~300 目),以石油醚:丙酮=12 : 1 等度洗脱,得到化合物 2 (15 mg)。E1-1-1-3 (0.3 g)经硅胶柱层析(200~300 目),以石油醚-丙酮(10 : 1~0 : 10)梯度洗脱,得到化合物 4 (18 mg)。E2 (12 g)经硅胶柱层析(200~300 目),以氯仿-甲醇(100 : 0~0 : 100)梯度洗脱,经 TLC 薄层层析检测合并主点相同的流分,得到 E2-1~E2-4 共 4 个组分。其中较大量物质通过重结晶的方法得到化合物 7 (180 mg)、8 (300 mg)、9 (350 mg)。E2-1 (1.7 g)经多次 Sephadex LH-20 柱层析(流动相:甲醇)得到主要成分 E2-1-1~E2-1-3。E2-1-1 (0.8 g)经硅胶柱层析(200~300 目),以氯仿-甲醇(100 : 0~0 : 100)梯度洗脱,得到化合物 6 (10 mg)。E2-1-3 (0.6 g)经 Sephadex LH-20 柱层析(流动相为氯仿:甲醇=1 : 4)得到化合物 11 (10 mg)。E5 (48 g)经硅胶柱层析(200~300 目),以氯仿-甲醇(100 : 0~0 : 100)梯度洗脱,经 TLC 薄层层析检测合并主点相同的流分,得到 E5-1~E5-6 共 6 个组分。E5-6 (2 g)以氯仿-甲醇(10 : 1~0 : 10)梯度洗脱,得到化合物 10 (25 mg)(图 1)。

1.4 结构鉴定

表松脂酚 (Epipinoresinol, 1) 无色油状物, 分子式为 C₂₀H₂₂O₆; 正离子 ESIMS *m/z*: 381 [M + Na]⁺, 397 [M + K]⁺; 负离子 ESIMS *m/z*: 357 [M - H]⁻; ¹H

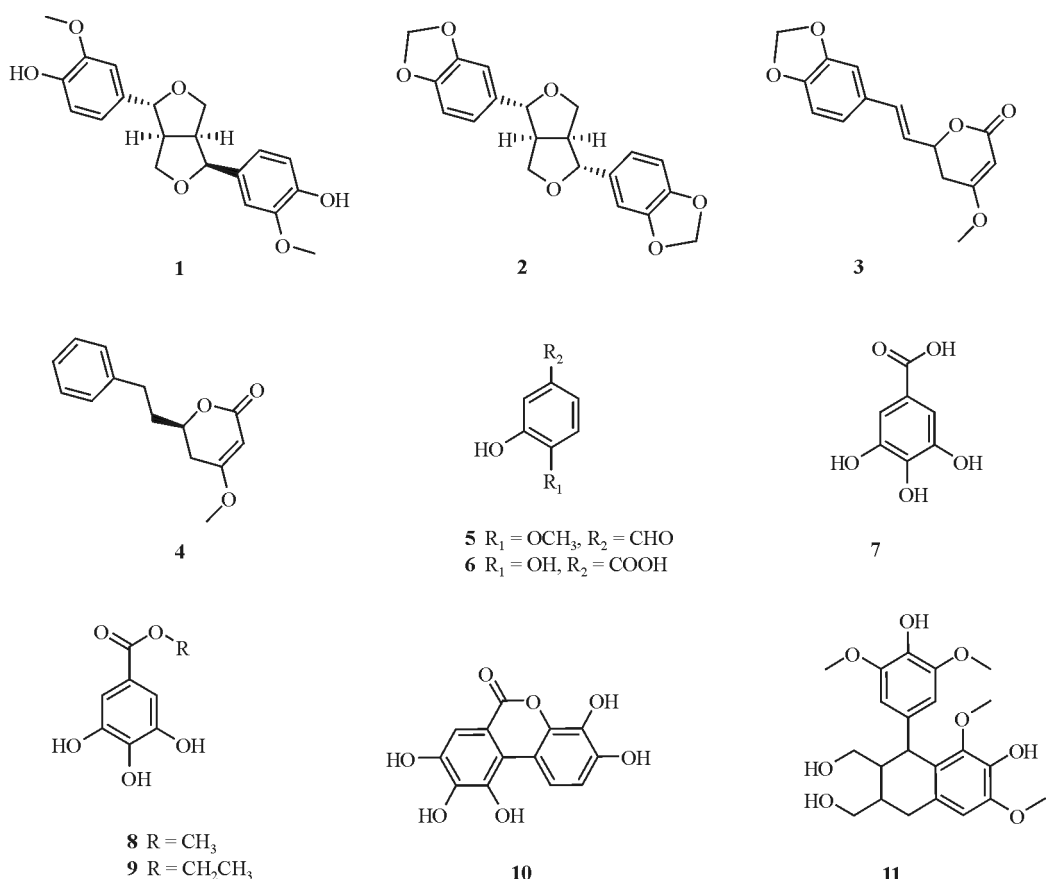


图 1 化合物 1~11 的结构

Fig. 1 Structure of compounds 1–11

NMR (600 MHz, CD₃OD): δ 6.95 (1H, d, J = 1.5 Hz, H-2'), 6.91 (1H, d, J = 1.7 Hz, H-2), 6.88 (2H, d, J = 8.1 Hz, H-5, 5'), 6.84 (1H, dd, J = 8.1, 1.7 Hz, H-6), 6.78 (1H, dd, J = 8.1, 1.2 Hz, H-6'), 4.86 (1H, d, J = 5.3 Hz, H-7'), 4.43 (1H, d, J = 7.1 Hz, H-7), 4.12 (1H, d, J = 9.5 Hz, H-9ax), 3.90 (3H, s, H-10'), 3.89 (3H, s, H-10), 3.85 (1H, dd, J = 9.4, 6.3 Hz, H-9eq), 3.84 (1H, dd, J = 8.6, 7.6 Hz, H-9eq), 3.32 ~ 3.37 (1H, m, H-8'), 3.31 (1H, dd, J = 8.6, 8.3 Hz, H-9'ax), 2.88 ~ 2.93 (1H, m, H-8); ¹³C NMR (150 MHz, CD₃OD): δ 146.9 (C-3), 146.6 (C-3'), 145.5 (C-4), 144.7 (C-4'), 133.1 (C-1), 130.4 (C-1'), 119.3 (C-6), 118.5 (C-6'), 114.4 (C-5, 5'), 108.7 (C-2), 108.5 (C-2'), 87.9 (C-7), 82.2 (C-7'), 71.1 (C-9), 69.8 (C-9'), 56.1 (C-10), 56.0 (C-10'), 54.6 (C-8), 50.3 (C-8')。以上数据与文献[7]中 Epipinoresinol 的数据一致。

(-)–芝麻素 [(-)-Sesamin, 2] 浅绿色针状物, 分子式为 C₂₀H₁₈O₆; 正离子 ESIMS m/z : 377 [M + Na]⁺, 731 [2M + Na]⁺; 负离子 ESIMS m/z : 353 [M -

H]⁻; ¹H NMR (600 MHz, CDCl₃): δ 6.76 ~ 6.85 (H-5', 5'', 6', 6'', 2', 2''), 5.95 (4H, s, 2 × -OCH₂O-), 4.71 (2H, d, J = 4.3 Hz, H-2β, 6β), 4.23 (2H, m, H-4α, 8α), 3.87 (2H, dd, J = 9.2, 3.6 Hz, H-4β, 8β), 3.05 (2H, m, H-1α, 5α); ¹³C NMR (150 MHz, CDCl₃): δ 148.1 (C-3', 3''), 147.2 (C-4', 4''), 135.2 (C-1', 1''), 119.5 (C-6', 6''), 108.3 (C-5', 5''), 106.6 (C-2', 2''), 101.2 (2 × -OCH₂O-), 85.9 (C-2, 6), 71.9 (C-4, 8), 54.5 (C-1, 5)。以上数据与文献[8]中(-)-Sesamin 的数据一致。

麻醉椒苦素 (Methysticin, 3) 无色油状物, 分子式为 C₁₅H₁₄O₅; 正离子 ESIMS m/z : 297 [M + Na]⁺, 313 [M + K]⁺; $[\alpha]_D^{25}$ 0 (c 0.75, CHCl₃); ¹H NMR (600 MHz, CDCl₃): δ 6.92 (1H, d, J = 1.5 Hz, H-10), 6.82 (1H, dd, J = 8.0, 1.5 Hz, H-14), 6.76 (1H, d, J = 8.0 Hz, H-13), 6.63 (1H, d, J = 15.8 Hz, H-8), 6.08 (1H, dd, J = 15.9, 6.4 Hz, H-7), 5.96 (2H, s, H-16), 5.19 (1H, d, J = 1.2 Hz, H-3), 5.02 (1H, m, H-6), 3.76 (3H, s, H-12), 2.64 (1H, ddd, J = 17.1, 11, 1.2 Hz, H-5), 2.52 (1H, dd, J = 17.1, 4.2 Hz, H-5); ¹³C NMR

(150 MHz, CDCl₃): δ 172.5 (C-4), 166.9 (C-2), 148.3 (C-11), 147.9 (C-12), 133.1 (C-8), 130.3 (C-9), 123.8 (C-7), 121.9 (C-14), 108.5 (C-13), 105.9 (C-10), 101.3 (C-16), 90.7 (C-3), 76.1 (C-6), 56.2 (C-15), 33.5 (C-5)。以上数据与文献[9]中 methysticin 的数据一致。

二氢醉椒素 (Dihydrokawain, 4) 无色油状物, 分子式为 C₁₄H₁₆O₃; 正离子 ESIMS m/z: 233 [M + H]⁺; [α]_D²⁵ +47.9° (c 1.26, CHCl₃); ¹H NMR (600 MHz, CDCl₃): δ 7.34 (2H, m, H-11, 13), 7.25 (3H, m, H-10, 12, 14), 5.18 (1H, d, J = 1.6 Hz, H-3), 4.40 (1H, m, H-6), 3.77 (3H, s, OCH₃), 2.93 (1H, m, H-8), 2.82 (1H, m, H-8), 2.55 (1H, ddd, J = 17.0, 12, 1.6 Hz, H-5), 2.35 (1H, dd, J = 17.0, 3.8 Hz, H-5), 2.17 (1H, m, H-7), 1.97 (1H, m, H-7); ¹³C NMR (150 MHz, CD₃OD): δ 172.8 (C-4), 167.4 (C-2), 140.9 (C-9), 128.6 (C-11, 13), 128.5 (C-10, 14), 126.2 (C-12), 90.4 (C-3), 74.9 (C-6), 56.1 (C-15), 36.4 (C-7), 33.1 (C-5), 31.0 (C-8)。以上数据与文献[9]中 dihydrokawain 的数据一致。

异香兰素 (Isovanillin, 5) 白色针晶, 分子式为 C₈H₈O₃; 正离子 ESIMS m/z: 153 [M + H]⁺, 175 [M + Na]⁺; 负离子 ESIMS m/z: 151 [M - H]⁻; ¹H NMR (600 MHz, CD₃OD): δ 3.91 (3H, s, OCH₃), 7.00 (1H, d, J = 8.6 Hz, H-5), 7.39~7.40 (2H, m, H-2, 6), 9.78 (1H, s, CHO)。以上数据与文献[10]中异香兰素的数据一致。

3,4-二羟基苯甲酸 (3,4-Dihydroxy benzoic acid, 6) 白色粒状结晶(甲醇), 分子式为 C₇H₆O₄; 正离子 ESIMS m/z: 193 [M + K]⁺, 309 [2M + H]⁺; 负离子 ESIMS m/z: 153 [M - H]⁻; ¹H NMR (600 MHz, CD₃OD): δ 7.44 (1H, s, H-2), 7.42 (1H, d, J = 8.0 Hz, H-6), 6.79 (1H, d, J = 8.0 Hz, H-5); ¹³C NMR (150 MHz, CD₃OD): δ 170.3 (COOH), 151.5 (C-4), 146.1 (C-3), 123.9 (C-1), 123.2 (C-6), 117.7 (C-2), 115.8 (C-5)。以上数据与文献[11]中 3,4-二羟基苯甲酸的数据一致。

没食子酸 (Gallic acid, 7) 白色针状结晶, 分子式为 C₇H₆O₅; 正离子 ESIMS m/z: 171 [M + H]⁺, 负离子 ESI MS m/z: 339 [2M - H]⁻, 169 [M - H]⁻; ¹H NMR (600 MHz, CD₃OD): δ 7.05 (2H, s, H-2, 6); ¹³C NMR (150 MHz, CD₃OD): δ 170.4 (COOH), 146.3

(C-3, 5), 139.5 (C-4), 121.9 (C-1), 110.3 (C-2, 6)。以上数据与文献[12]中没食子酸的数据一致。

没食子酸甲酯 (Methyl gallate, 8) 白色粉末状晶体, 分子式为 C₈H₈O₅; 正离子 ESIMS m/z: 207 [M + Na]⁺; 负离子 ESIMS m/z: 183 [M - H]⁻; ¹H NMR (600 MHz, CD₃OD): δ 3.80 (3H, s, OCH₃), 7.03 (2H, s, H-2, 6); ¹³C NMR (150 MHz, CD₃OD): δ 169.0 (C=O), 146.5 (C-3, 5), 139.7 (C-4), 121.4 (C-1), 110.0 (C-2, 6), 52.3 (OCH₃)。以上数据与文献[13]中没食子酸甲酯的数据一致。

没食子酸乙酯 (Ethyl gallate, 9) 白色针状结晶, 分子式为 C₉H₁₀O₅; 正离子 ESIMS m/z: 199 [M + H]⁺, 221 [M + Na]⁺, 237 [M + K]⁺; 负离子 ESIMS m/z: 197 [M - H]⁻; ¹H NMR (600 MHz, CD₃OD): δ 1.30 (3H, t, CH₃), 4.23 (2H, q, OCH₂), 7.02 (2H, s, H-2, 6); ¹³C NMR (150 MHz, CD₃OD): δ 168.6 (C=O), 146.4 (C-3, 5), 139.7 (C-4), 121.8 (C-1), 110.0 (C-2, 6), 61.7 (OCH₂), 14.6 (CH₃)。以上数据与文献[14]中没食子酸乙酯的数据一致。

3,4,8,9,10-五羟基二苯骈[b,d]吡喃-6-酮 (3,4,8,9,10-Pentahydroxydibenzo[b,d]pyran-6-one, 10) 黑褐色结晶, 分子式为 C₁₃H₈O₇; 负离子 ESIMS m/z: 275 [M - H]⁻; ¹H NMR (600 MHz, CD₃OD): δ 8.44 (1H, d, J = 9.0 Hz, H-1), 7.38 (1H, s, H-7), 6.76 (1H, d, J = 9.0 Hz, H-2); ¹³C NMR (150 MHz, CD₃OD): δ 163.8 (C-6), 146.8 (C-3), 146.4 (C-8), 144.0 (C-10), 141.8 (C-9), 141.0 (C-4a), 133.3 (C-4), 119.1 (C-1), 118.6 (C-10a), 112.8 (C-10b), 112.4 (C-2), 112.1 (C-6a), 108.1 (C-7)。以上数据与文献[15]中 3,4,8,9,10-五羟基二苯骈[b,d]吡喃-6-酮的数据一致。

Polystachyol (11) 浅黄色油状物, 分子式为 C₂₂H₂₈O₈; 正离子 ESIMS m/z: 443 [M + Na]⁺, 459 [M + K]⁺; 负离子 ESIMS m/z: 419 [M - H]⁻; ¹H NMR (600 MHz, CD₃OD): δ 6.59 (1H, s, H-2'), 6.38 (2H, s, H-2, 6), 4.31 (1H, d, J = 5.6 Hz, H-7), 3.86 (3H, s, OMe-3'), 3.74 (6H, s, OMe-3, 5), 3.59 (1H, dd, J = 10.9, 5.0 Hz, Hb-9'), 3.58 (1H, m, Hb-9), 3.49 (1H, m, Ha-9), 3.48 (1H, dd, J = 11.0, 7.3 Hz, Ha-9'), 3.38 (3H, s, OMe-5'), 2.70 (1H, dd, J = 15.1, 4.8 Hz, Hb-7'), 2.57 (1H, dd, J = 14.7, 11.5 Hz, Ha-7'), 1.96 (1H, m, H-8), 1.62 (1H, m, H-8'); ¹³C NMR (150 MHz, CD₃OD): δ 148.9 (C-3, 5), 148.7 (C-3'), 147.7 (C-5'),

139.3 (C-1), 138.9 (C-4'), 134.5 (C-4), 130.2 (C-1'), 126.2 (C-6'), 107.8 (C-2'), 106.9 (C-2, 6), 66.8 (C-9'), 64.2 (C-9), 60.2 (OMe-5'), 56.8 (OMe-3, 5), 56.6 (OMe-3'), 49.6 (C-8), 42.3 (C-7), 40.9 (C-8'), 33.6 (C-7')。以上数据与文献[16]中 polystachyol 的数据一致。

2 结果和讨论

采用硅胶柱层析和葡聚糖凝胶柱层析等色谱分离手段,从油榄仁果实乙醇提取物的乙酸乙酯萃取部分共分离得到 11 个化合物。经过波谱数据分析及与文献数据对照,鉴定这些化合物的结构分别为表松脂酚(1)、(-)-芝麻素(2)、麻醉椒苦素(3)、二氢醉椒素(4)、异香兰素(5)、3,4-羟基苯甲酸(6)、没食子酸(7)、没食子酸甲酯(8)、没食子酸乙酯(9)、3,4,8,9,10-五羟基二苯骈[b,d]吡喃-6-酮(10)、Polystachyol(11),其中化合物 1~6、10 和 11 为首次从油榄仁果实中分离得到。

据文献报道,没食子酸具有抗炎、抗突变、抗氧化、抗自由基等多种生物学活性^[17];同时没食子酸具有抗肿瘤作用,可以抑制肥大细胞瘤的转移,从而延长生存期^[18]。没食子酸的烷基酯根据烷基碳原子个数可分为低级酯(如甲酯、乙酯、丙酯等)和高级酯(如辛酯、月桂酯、十八碳醇酯等),这些酯类化合物都是性能优良的食品抗氧化剂。没食子酸烷基酯还被实验证明与 SOD 有类似的性能,可阻止过氧化氢对晶状上皮细胞的损伤。芝麻素在生物体内呈现出比较强的抗氧化性,能够抑制脂质氧化、消除体内自由基^[19~21],芝麻素具有降低胆固醇、抗高血压、抗菌及抗氧化、保护肝脏、抑制乳癌以及免疫激活等生理作用^[22~23];表松脂素对人胃癌细胞株 SGC7901 生长有一定的抑制作用;异香兰素具有香荚兰豆香气及浓郁的奶香,是食品添加剂行业中不可缺少的重要原料,起增香和增加甜味的作用,同时还用作植物生长调节剂及药物中间体^[10];3,4,8,9,10-五羟基二苯骈[b,d]吡喃-6-酮对葡萄糖的转运有抑制作用^[15]。

油榄仁的果实产量大但未得到充分有效的利用,而国外文献关于其抗氧化、降血糖、抑菌、免疫调节等功效有诸多报道。因此,本研究有助于提高人们对油榄仁生物活性化学物质基础的认识,对于

促进油榄仁果实的开发利用具有积极的意义。

参考文献

- [1] Chen L, Guan X J, Xue Y, et al. The economic value and seedling technique research of *terminalia bellerica* [J]. *Trop For*, 2012, 40(2): 32~34.
陈丽, 关秀娟, 薛杨, 等. 油榄仁的经济价值及育苗技术研究 [J]. 热带林业, 2012, 40(2): 32~34.
- [2] Sarawathi M N, Karthikeyan M, Kannan M, et al. *Terminalia bellerica* Roxb.: A phytopharmacological review [J]. *Int J Res Pharm Biomed Sci*, 2012, 3(1): 96~99.
- [3] Alam M B, Zahan R, Hasan M, et al. Antioxidant, antimicrobial and toxicity studies of the different fractions of fruits of *Terminalia bellerica* Roxb. [J]. *Glob J Pharmacol*, 2011, 5(1): 7~17.
- [4] Nampoothiri S V, Prathapan A, Cherian O L, et al. *In vitro* antioxidant and inhibitory potential of *Terminalia bellerica* and *Emblica officinalis* fruits against LDL oxidation and key enzymes linked to type 2 diabetes [J]. *Food Chem Toxicol*, 2011, 49(1): 125~131.
- [5] Nampoothiri S V, Binil Raj S S, Prathapan A, et al. *In vitro* antioxidant activities of the methanol extract and its different solvent fractions obtained from the fruit pericarp of *Terminalia bellerica* [J]. *Nat Prod Res*, 2011, 25(3): 277~287.
- [6] Guleria S, Tiku A K, Rana S. Antioxidant activity of acetone extract/fractions of *Terminalia bellerica* Roxb. fruit [J]. *Ind J Biochem Biophys*, 2010, 47(2): 110~116.
- [7] Okuyama E, Suzumura K, Yamazaki M. Pharmacologically active components of *Todopon puok* (*Fagraea racemosa*), a medicinal plant from Borneo [J]. *Chem Pharm Bull*, 1995, 43(12): 2200~2204.
- [8] Oh J, Hwang I H, Kim D C, et al. Anti-listerial compounds from Asari Radix [J]. *Arch Pharm Res*, 2010, 33(9): 1339~1345.
- [9] Ranjith W, Dharmaratne H, Dhammadika N N P, et al. Kavalactones from *Piper methysticum*, and their ¹³C NMR spectroscopic analyses [J]. *Phytochemistry*, 2002, 59(4): 429~433.
- [10] Yin J P, Wang F B, Huang K L, et al. Synthesis and characterization of 3-hydroxy-4-methoxybenzaldehyde [J]. *Fine Chem Icals*, 2006, 23(5): 460~462.
殷建平, 王芳斌, 黄可龙, 等. 3-羟基-4-甲氧基苯甲醛的合成与表征 [J]. 精细化工, 2006, 23(5): 460~462.
- [11] Luo Y M, Liu A H, Yu B W, et al. Studies on chemical constituents of *Sarcandra glabra* [J]. *Chin Pharm J*, 2005, 40(17): 1296~1298.
罗永明, 刘爱华, 余邦伟, 等. 中药草珊瑚的化学成分研究 [J]. 中国药学杂志, 2005, 40(17): 1296~1298.
- [12] Zhang M, Zhou Z Y, Ren H, et al. Phenolic compounds from *Eupatorium adenophorum* Spreng. [J]. *J Trop Subtrop Bot*, 2013, 21(1): 63~68.
张梅, 周忠玉, 任慧, 等. 紫茎泽兰中的酚类化学成分 [J]. 热带

- 亚热带植物学报, 2013, 21(1): 63–68.
- [13] Fu F Y, Shang T M, Hsu T P. Studies on the chemical constituents of the Chinese medical drug, root of *Paeonia lactiflora* Pall [J]. Acta Pharm Sin, 1963, 29(10): 555–557.
- [14] Huang W Q, Shi M F, Song X P, et al. Chemical constituents isolated from *Fructus quisqualis* [J]. J NW Sci-Techn Univ Agri For (Nat Sci), 2006, 34(4): 79–81.
黄文强, 施敏峰, 宋晓平, 等. 使君子化学成分研究 [J]. 西北农林科技大学学报: 自然科学版, 2006, 34(4): 79–81.
- [15] Bai N, He K, Roller M, et al. Active compounds from *Lagerstroemia speciosa*, insulin-like glucose uptake-stimulatory/inhibitory and adipocyte differentiation-inhibitory activities in 3T3-L1 cells [J]. J Agric Food Chem, 2008, 56(24): 11668–11674.
- [16] Jia X Z, Jie R, Jiang J Q, et al. Phenylpropanoids and lignanoids from *Euonymus acanthocarpus* [J]. Arch Pharm Res, 2012, 35(10): 1739–1747.
- [17] Li X L, Cui L, Zhu D Q. Research progress of the biological effect of gallic acid [J]. China Pharm, 2004, 7(10): 767–769.
李肖玲, 崔岚, 祝德秋. 没食子酸生物学作用的研究进展 [J]. 中国药师, 2004, 7(10): 767–769.
- [18] Ohno T, Inoue M, Ogihara Y. Cytotoxic activity of gallic acid against liver metastasis of mastocytoma cells P815 [J]. Anticancer Res, 2001, 21(6): 3875–3880.
- [19] Nakai M, Harada M, Nakahara K, et al. Novel antioxidative metabolites in rat liver with ingested sesamin [J]. J Agric Food Chem, 2003, 51(6): 1666–1670.
- [20] Ikeda S, Kagaya M, Kobayashi K, et al. Dietary sesame lignans decrease lipid peroxidation in rats fed docosahexaenoic acid [J]. J Nutr Sci Vitaminol, 2003, 49(4): 270–276.
- [21] Sirato-Yasumoto S, Katsuta M, Okuyama Y, et al. Effect of sesame seeds rich in sesamin and sesamolin on fatty acid oxidation in rat liver [J]. J Agric Food Chem, 2001, 49(5): 2647–2651.
- [22] Zhang S Q, Zhang S C. Development of study on sesamin [J]. Amino Acid Biot Resour, 2005, 27(3): 17–21.
张世卿, 张水成. 芝麻素研究进展 [J]. 氨基酸和生物资源, 2005, 27(3): 17–21.
- [23] Dai H P, Wang X G, Yu C T. Research and exploitation of sesamin [J]. China Oils Fats, 2003, 28(6): 52–54.
戴洪平, 王兴国, 余春涛. 芝麻素的研究及开发 [J]. 中国油脂, 2003, 28(6): 52–54.